

Ch. 8 EM Wellen in Materie

- **Wellengleichung in Materie**
- **Grenzflächen zwischen Medien**
- **Reflexion, total Reflexion**
- **Brechung, Doppelbrechung**
- **Brewster Winkel**

Ebene Welle durch Medium

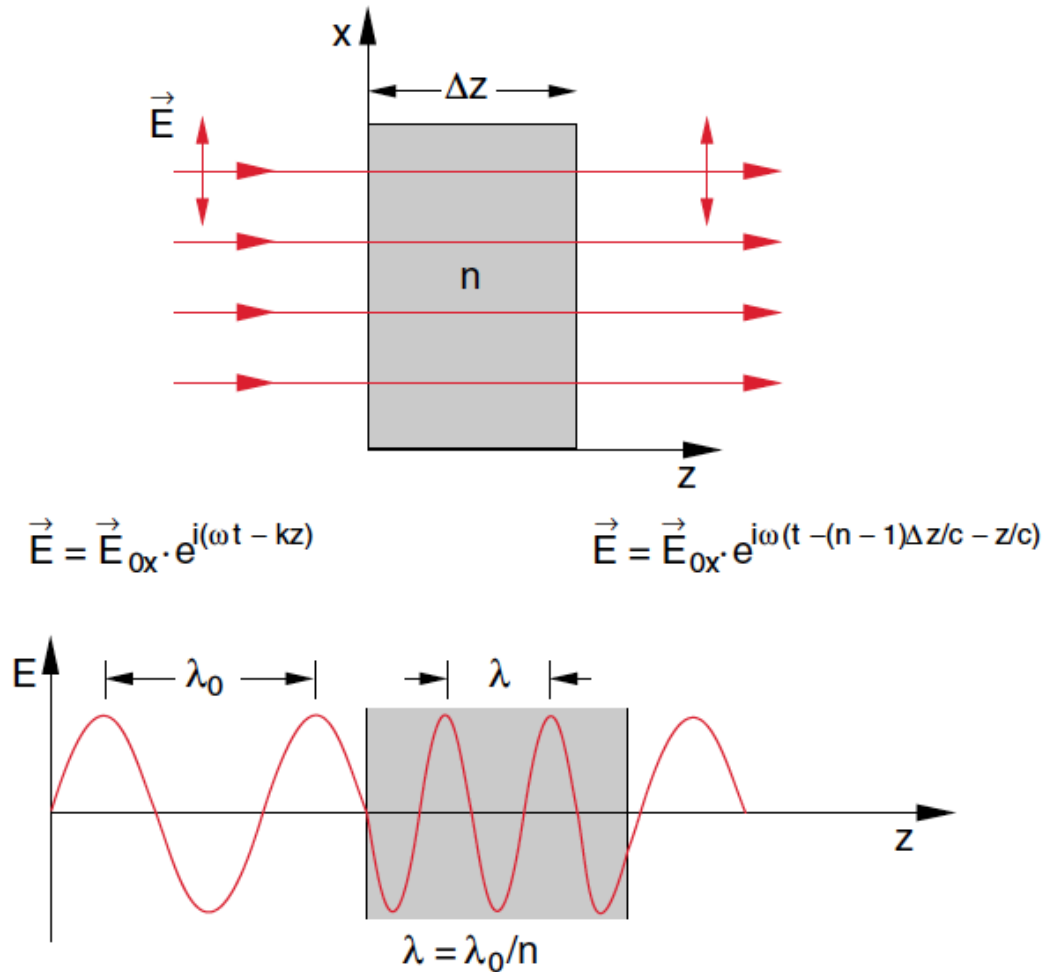
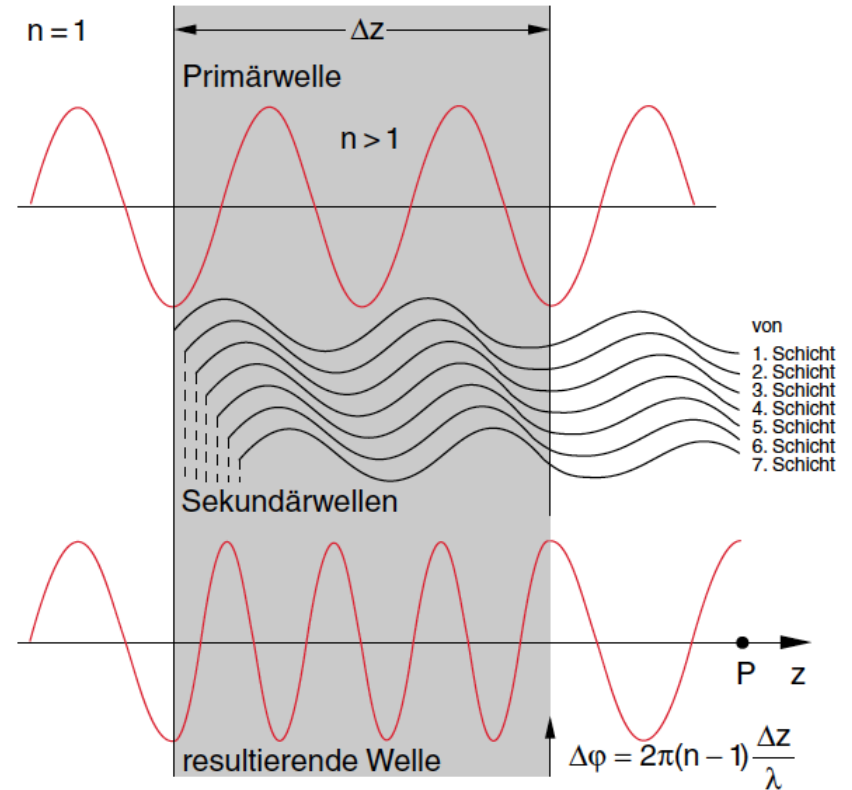
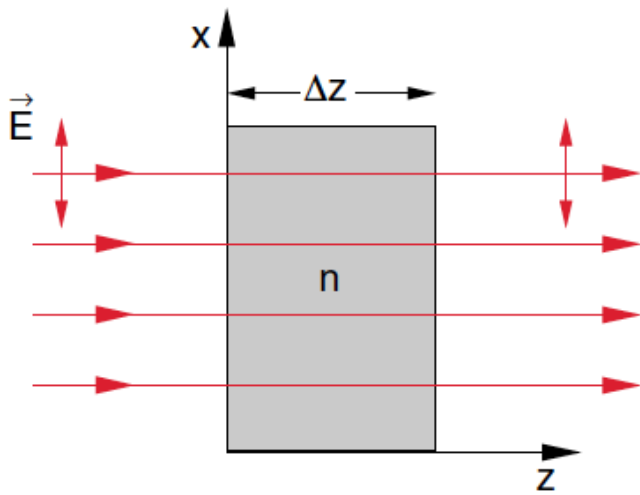


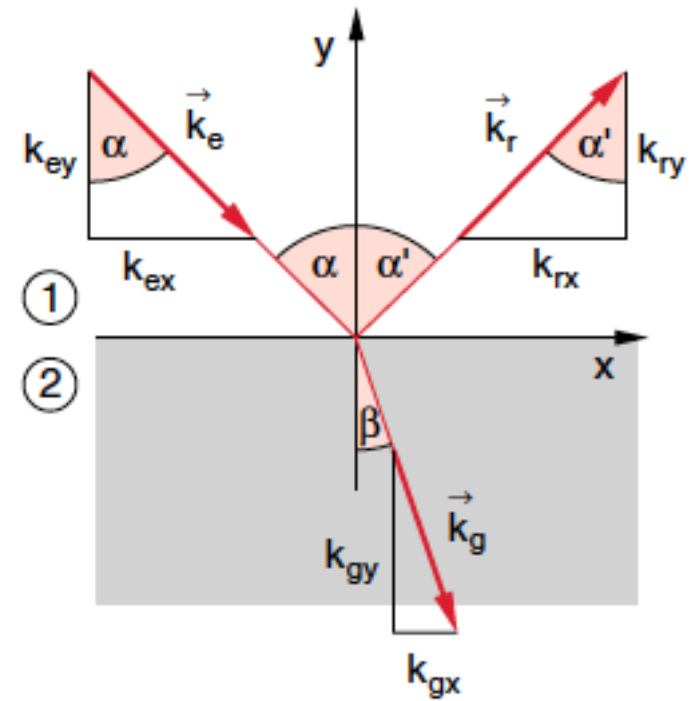
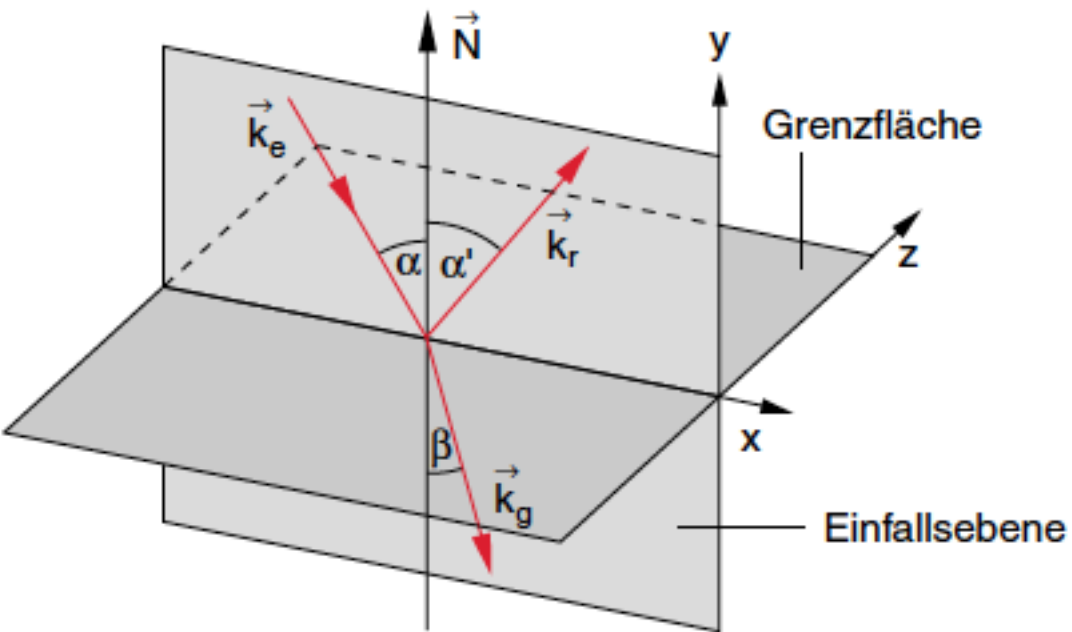
Abb. 8.1. Durchgang einer ebenen Welle durch ein Medium mit Brechungsindex n . Die Reflexion an den Grenzflächen ist hier nicht berücksichtigt

Ebene Welle durch Medium



Reflexion und Brechung

Geometrie und Koordinatensystem



Totale interne Reflexion: Wellenleiter aus “heisser Luft”

PHYSICAL REVIEW X 4, 011027 (2014)



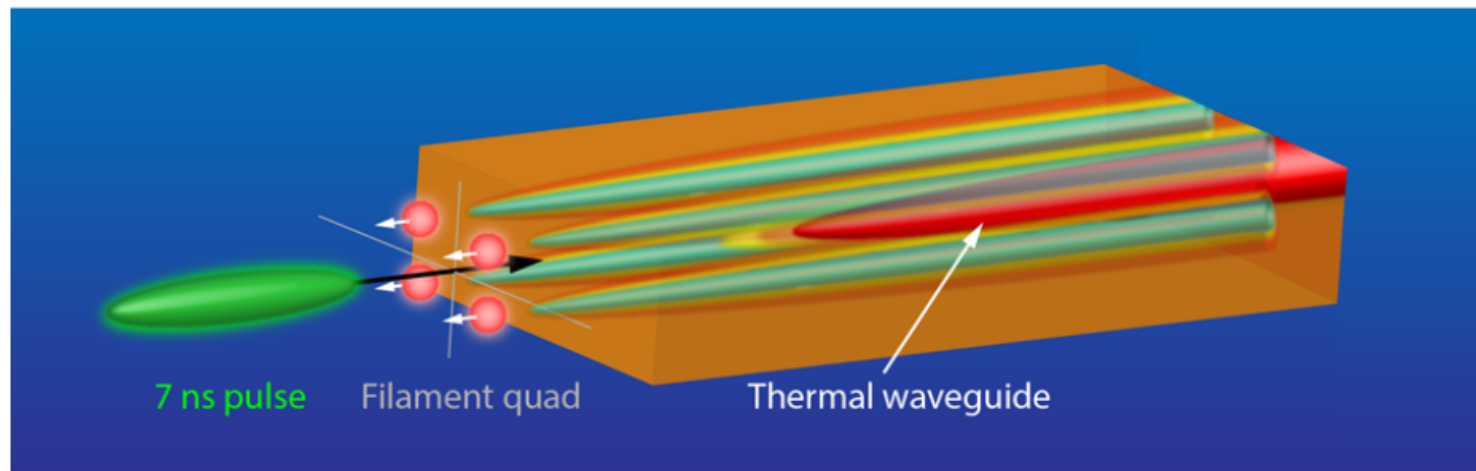
Demonstration of Long-Lived High-Power Optical Waveguides in Air

N. Jhajj, E. W. Rosenthal, R. Birnbaum, J. K. Wahlstrand, and H. M. Milchberg*

*Institute for Research in Electronics and Applied Physics, University of Maryland,
College Park, Maryland 20742, USA*

(Received 7 November 2013; revised manuscript received 8 December 2013; published 26 February 2014)

We demonstrate that femtosecond filaments can set up an extended and robust thermal waveguide structure in air with a lifetime of several milliseconds, making possible the very-long-range guiding and



Fresnel-Gleichungen

Reflexions- und Transmissions- Koeffizienten des elektrischen Feldes einer ebenen, elektromagnetische Welle

s-Polarisation

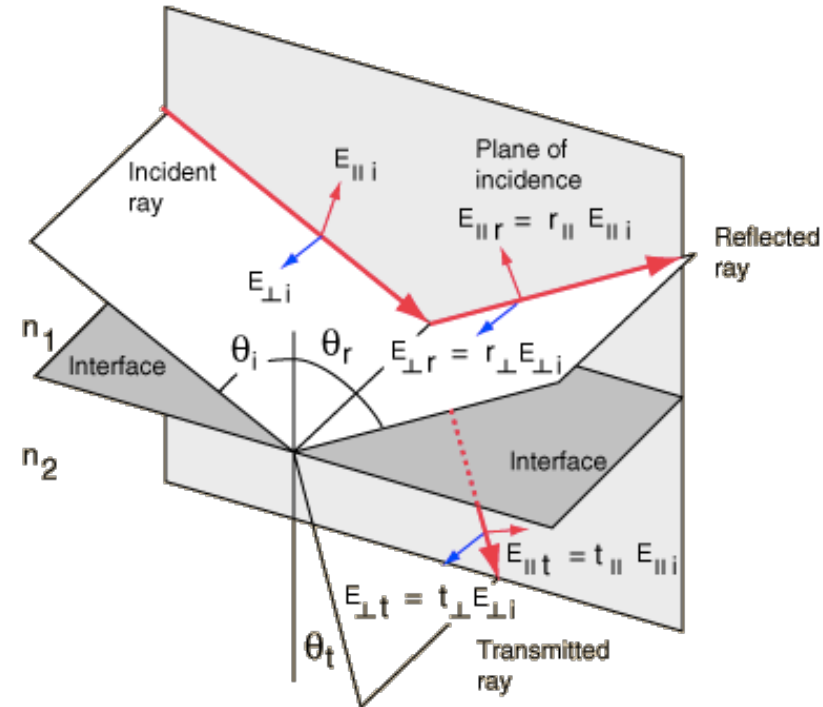
$$\rho_s = \frac{A_{rs}}{A_{es}} = \frac{n_1 \cos \alpha - n_2 \cos \beta}{n_1 \cos \alpha + n_2 \cos \beta} = -\frac{\sin(\alpha - \beta)}{\sin(\alpha + \beta)}$$

$$\tau_s = \frac{A_{gs}}{A_{es}} = \frac{2n_1 \cos \alpha}{n_1 \cos \alpha + n_2 \cos \beta} = \frac{2 \sin \beta \cos \alpha}{\sin(\alpha + \beta)}$$

p-Polarisation

$$\rho_p = \frac{A_{rp}}{A_{ep}} = \frac{n_2 \cos \alpha - n_1 \cos \beta}{n_2 \cos \alpha + n_1 \cos \beta} = \frac{\tan(\alpha - \beta)}{\tan(\alpha + \beta)}$$

$$\tau_p = \frac{A_{gp}}{A_{ep}} = \frac{2n_1 \cos \alpha}{n_2 \cos \alpha + n_1 \cos \beta} = \frac{2 \sin \beta \cos \alpha}{\sin(\alpha + \beta) \cos(\alpha - \beta)}$$



Fresnel-Gleichungen

Reflexions- und Transmissions- Koeffizienten für Energie einer elektromagnetische Welle

$$R = \frac{\bar{I}_r}{\bar{I}_e} = \frac{A_r^2}{A_e^2} \quad T = \frac{n_2 \cos \beta}{n_1 \cos \alpha} \frac{A_g^2}{A_e^2} \quad T + R = 1$$

s-Polarisation

$$R_s = \frac{A_{rs}^2}{A_{es}^2} = \left(\frac{n_1 \cos \alpha - n_2 \cos \beta}{n_1 \cos \alpha + n_2 \cos \beta} \right)^2$$
$$= \left(\frac{\sin(\alpha - \beta)}{\sin(\alpha + \beta)} \right)^2$$

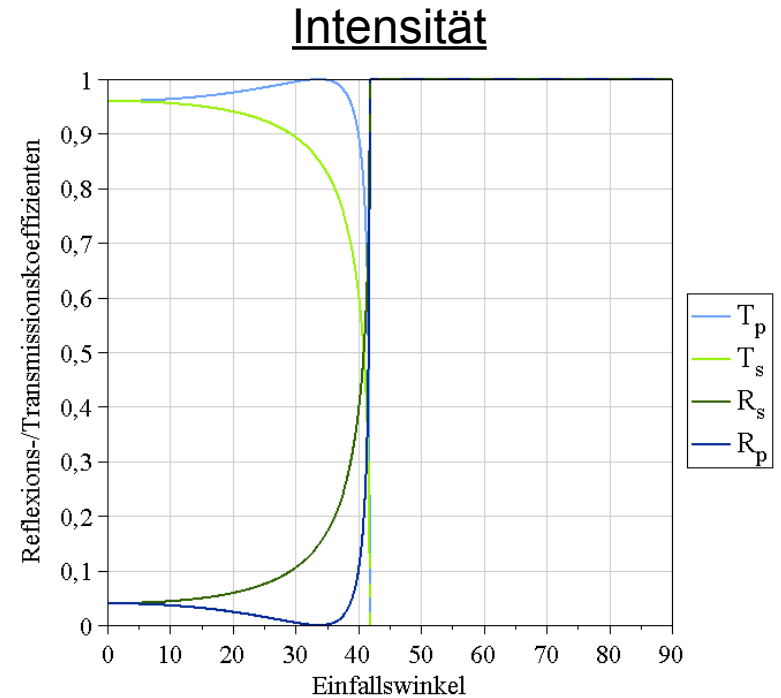
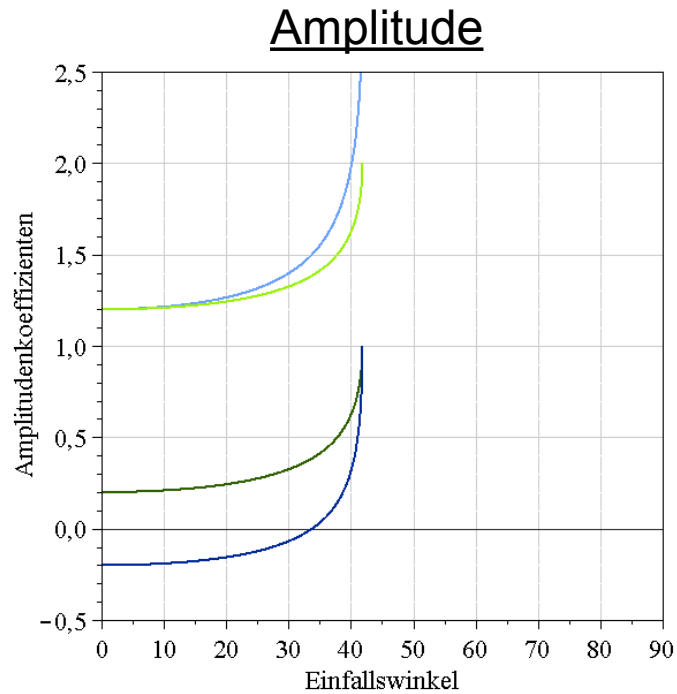
p-Polarisation

$$R_p = \frac{A_{rp}^2}{A_{ep}^2} = \left(\frac{n_2 \cos \alpha - n_1 \cos \beta}{n_2 \cos \alpha + n_1 \cos \beta} \right)^2$$
$$= \left(\frac{\tan(\alpha - \beta)}{\tan(\alpha + \beta)} \right)^2$$

Fresnel-Gleichungen

Reflexions- und Transmissions-Koeffizienten für elektromagnetische Welle

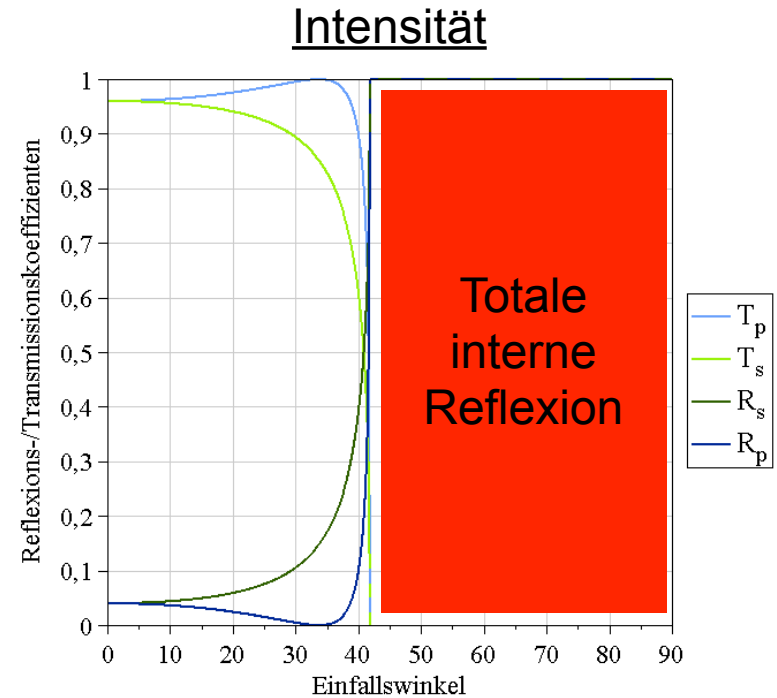
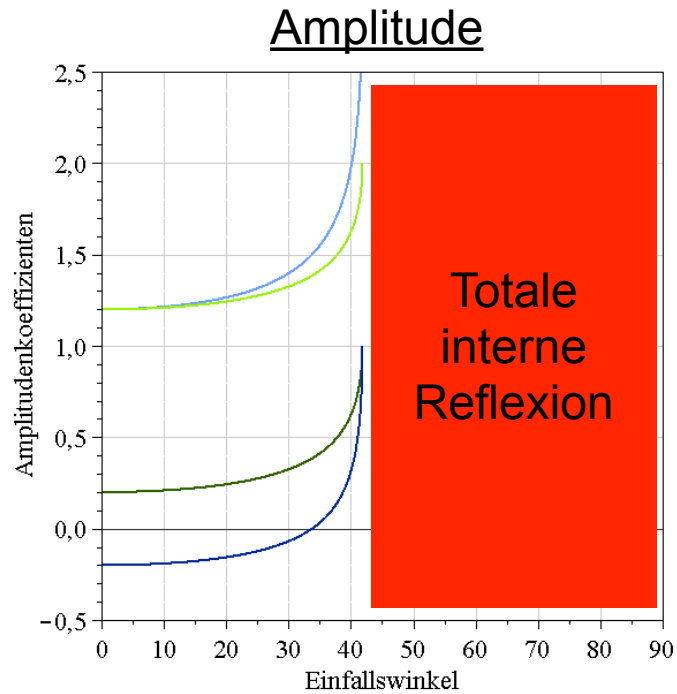
$$\underline{n_1 > n_2}$$
$$\underline{(n_1 = 1.5, n_2 = 1)}$$



Fresnel-Gleichungen

Reflexions- und Transmissions-Koeffizienten für elektromagnetische Welle

$$\underline{n_1 > n_2}$$
$$\underline{(n_1 = 1.5, n_2 = 1)}$$

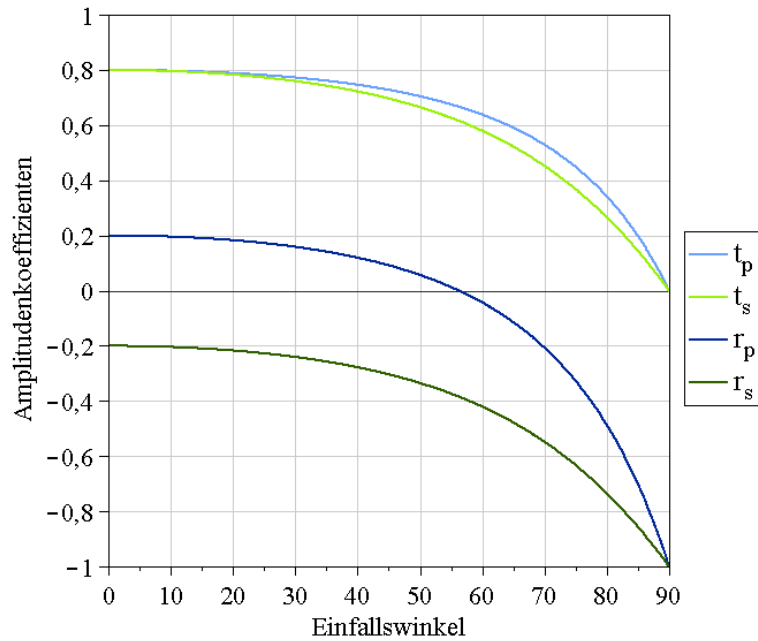


Fresnel-Gleichungen

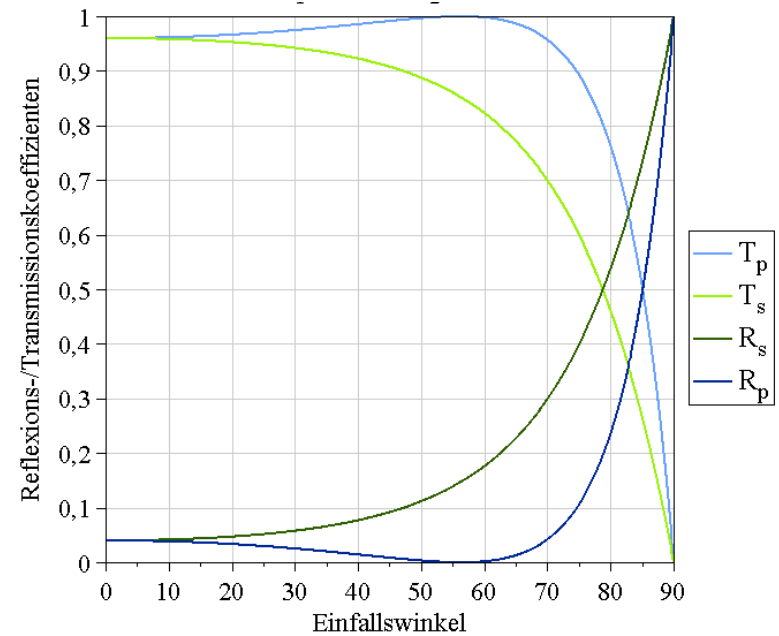
Reflexions- und Transmissions-Koeffizienten für elektromagnetische Welle

$$\underline{n_1 < n_2}$$
$$\underline{(n_1=1, n_2=1.5)}$$

Amplitude



Intensität

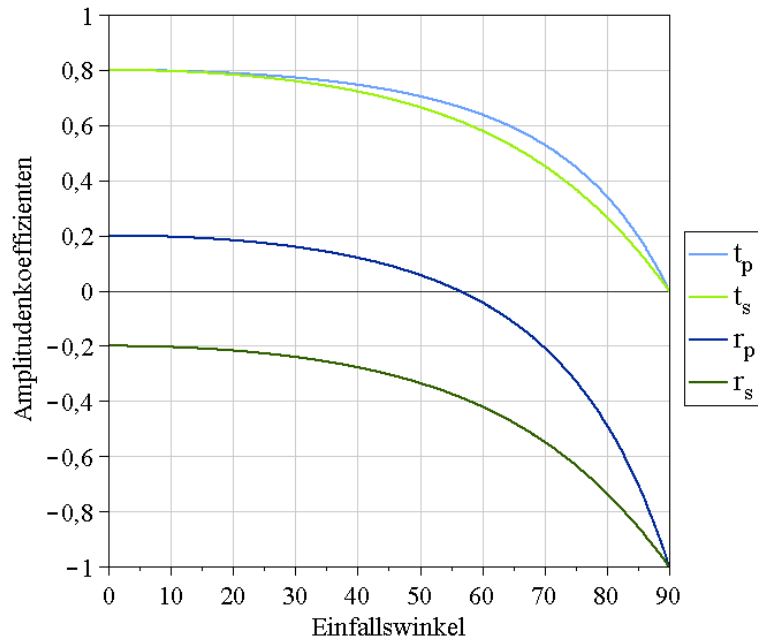


Fresnel-Gleichungen

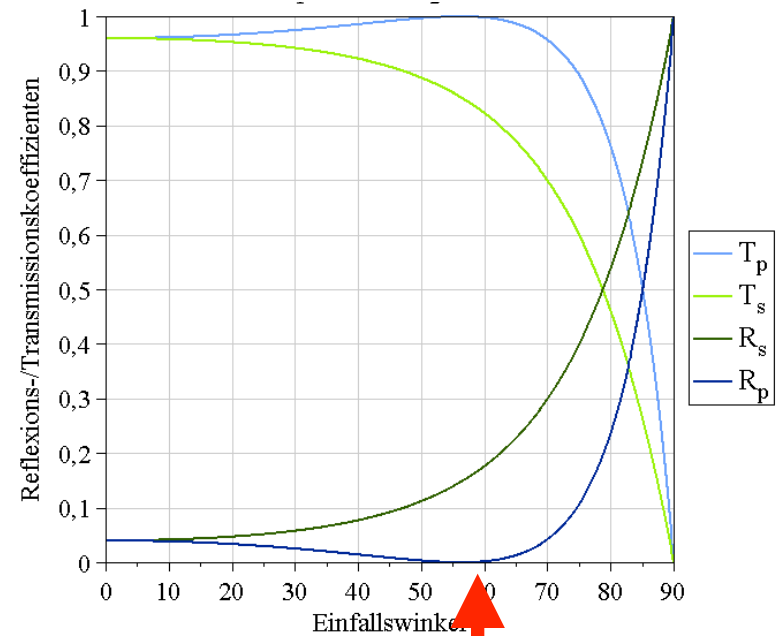
Reflexions- und Transmissions-Koeffizienten für elektromagnetische Welle

$$\underline{n_1 < n_2}$$
$$\underline{(n_1=1, n_2=1.5)}$$

Amplitude

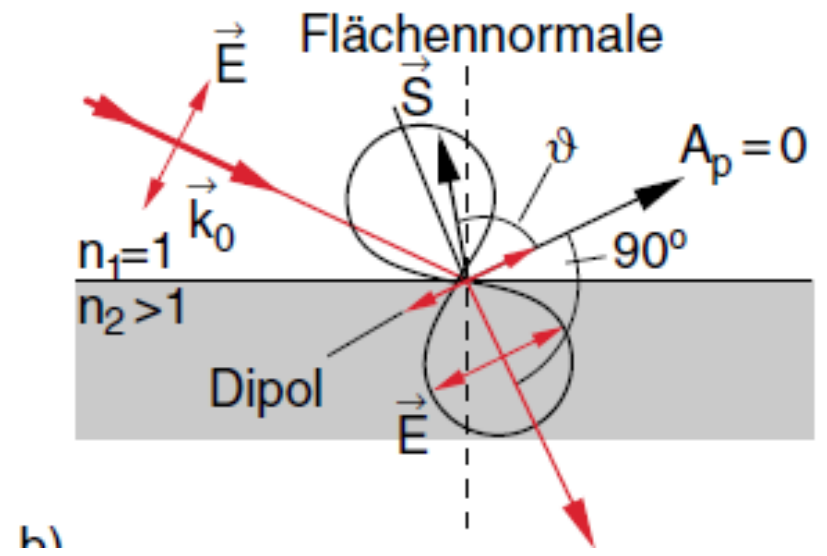
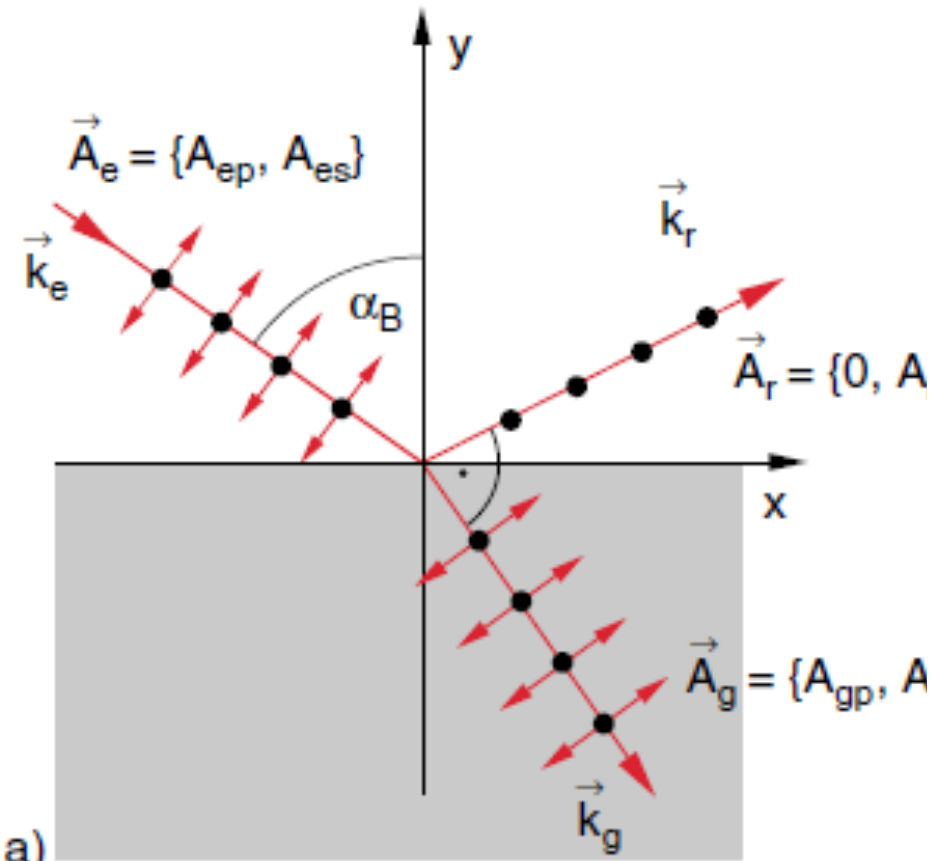


Intensität



Brewster-Winkel $\Leftrightarrow R_p=0$

Brewster Winkel



Brewster Winkel

Reflektiertes Licht nahe des Brewster-Winkels ist polarisiert:



Betrachtet durch
horizontalen Polarisator



Betrachtet durch
vertikalen Polarisator

Biosignatures as revealed by spectropolarimetry of Earthshine

Michael F. Sterzik¹, Stefano Bagnulo² & Enric Pallé³

Table 1 | Earth observations

Observations	Observing date	
	25 April 2011, 09:00 UT	10 June 2011, 01:00 UT
View of Earth as seen from the Moon		
Sun–Earth–Moon phase (degrees)	87	102
Ocean fraction in Earthshine (%)	18	46
Vegetation fraction in Earthshine (%)	7	3

Doppelbrechung

birefringence
(double refraction)

Crystalline Structure of Isotropic and **Anisotropic** Materials

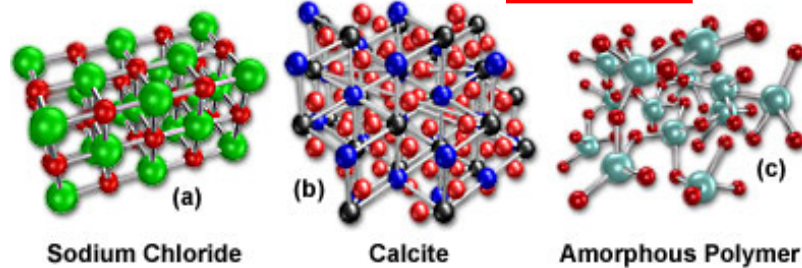


Figure 1

Light Path Through A Calcite Crystal

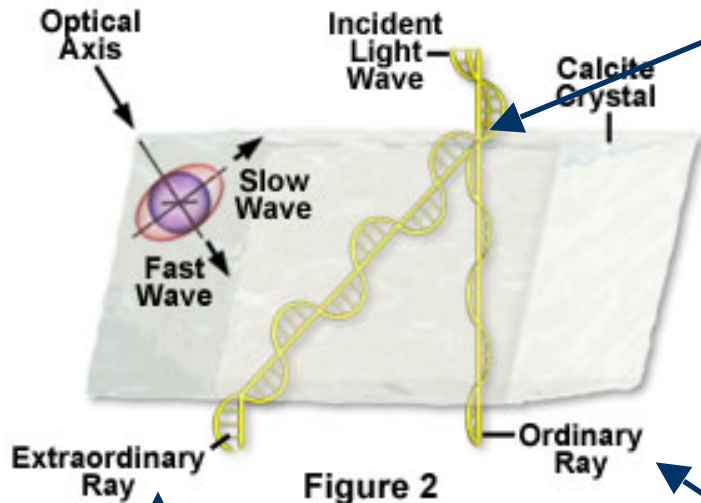


Figure 2

⊥ polarisation

slow refracted ray
(dep. on crystalline direction)

splitting of incident beam in 2 rays

normally refracted ray

Birefringent Calcite Crystal Electric Vector Orientations

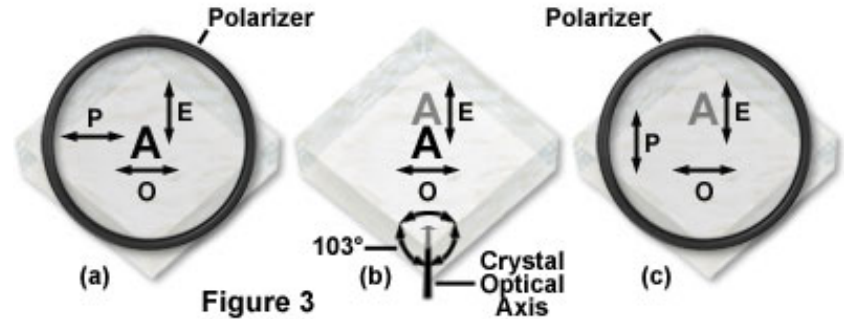
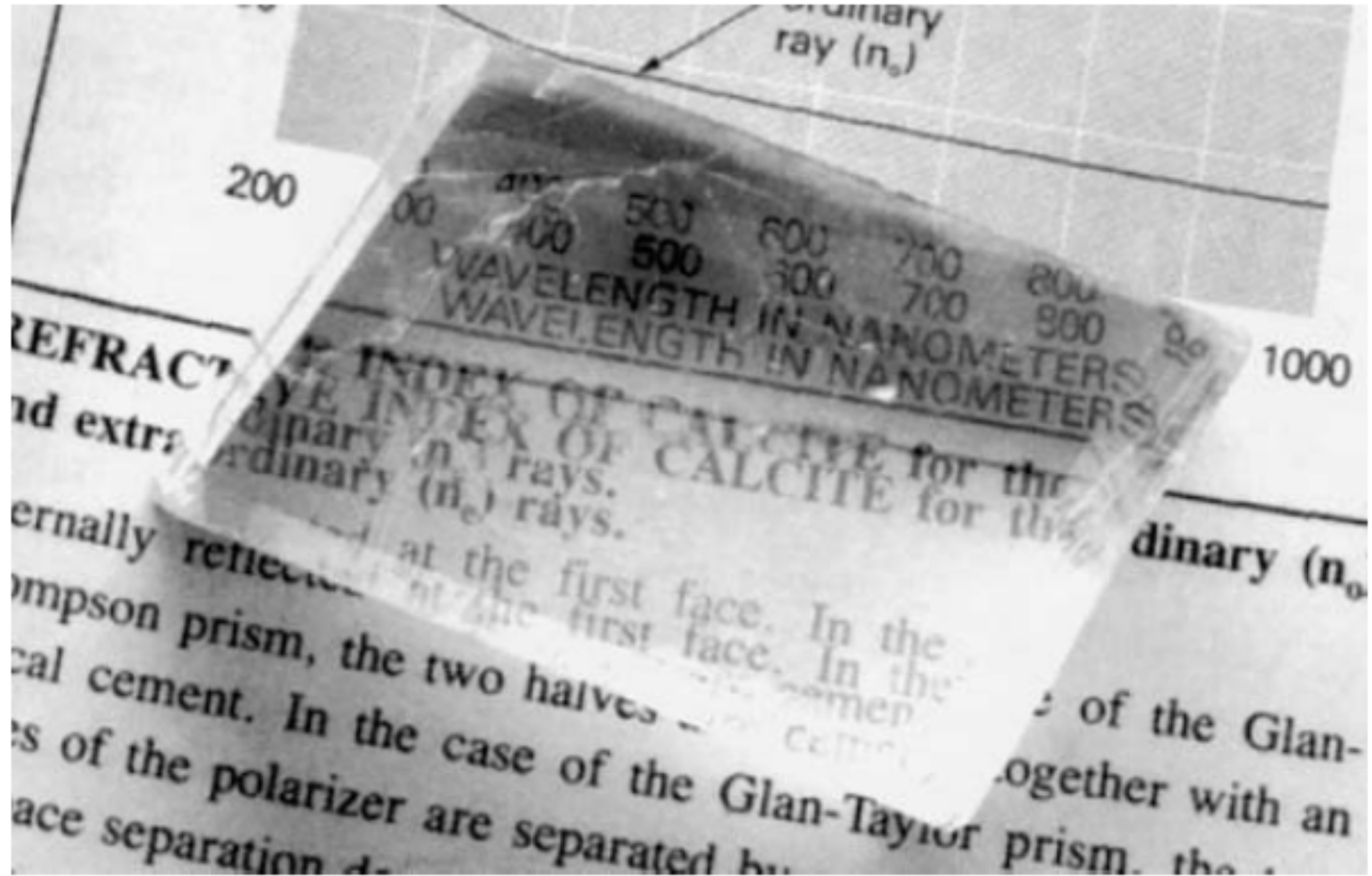
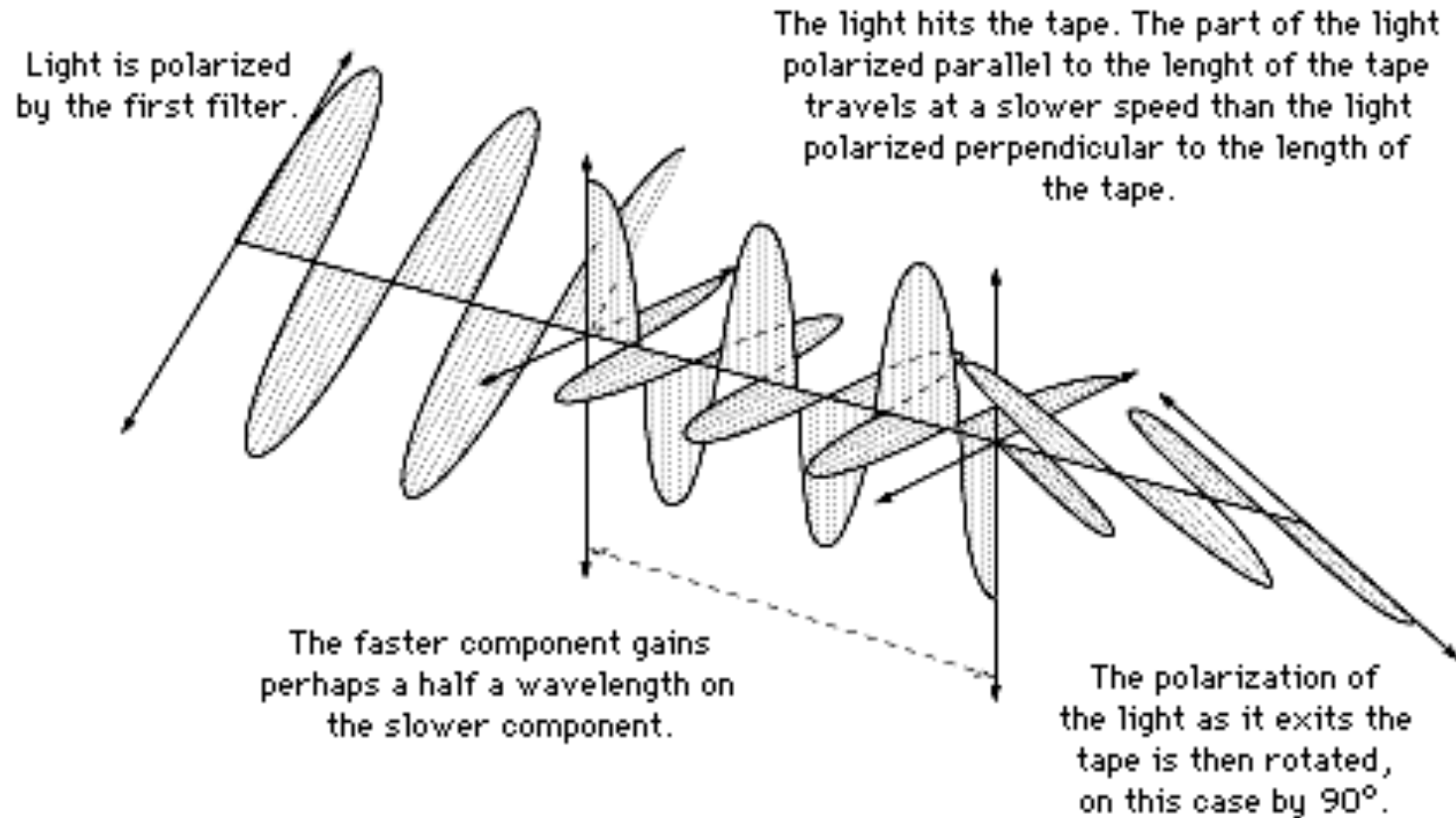


Figure 3

Doppelbrechung



Polarized light mosaic: scotch tape sandwich



A wave diagram of polarized light passing through a birefringent tape.

Polarisation Rotationswinkel

$$\alpha = \alpha(\lambda, d)$$

λ : Wellenlänge

d: Scotch tape Dicke

Synthetische DNA basierte optisch aktive

LETTER

doi:10.1038/nature10889

DNA-based self-assembly of chiral plasmonic nanostructures with tailored optical response

Anton Kuzyk^{1*†}, Robert Schreiber^{2*}, Zhiyuan Fan³, Günther Pardatscher¹, Eva-Maria Roller², Alexander Högele², Friedrich C. Simmel¹, Alexander O. Govorov³ & Tim Liedl²

